



# БИООРГАНИЧЕСКАЯ ХИМИЯ

том 8 \* № 5 \* 1982

УДК 547.962'458:543.63

## КОНФОРМАЦИОННЫЙ АНАЛИЗ АНТИФРИЗНОГО ГЛИКОПРОТЕИНА

*Аванюк А. Я., Липкин Г. М., Кочетков Н. К.*

*Институт органической химии им. Н. Д. Зелинского  
Академии наук СССР, Москва*

Проведен теоретический конформационный анализ возможных регулярных структур антифризного гликопротеина, повторяющимся звеном которого является глико-пептид Ala-Ala-Thr( $\leftarrow 1\alpha\text{GalNAc}3 \leftarrow 1\beta\text{Gal}$ ). Показано, что по стереохимическим критериям для него допустимы как  $\alpha$ -спиральная, так и  $\beta$ -структурная конформации. Найдена развернутая конформация с осью симметрии третьего порядка, в которой гидроксильные группы моносахаридных остатков боковых цепей могут образовывать водородные связи с молекулами воды поверхности льда.

Антифризные гликопротеины, выделенные из сыворотки арктических и антарктических рыб, обладают способностью к аномальному понижению температуры замерзания воды и обусловливают адаптацию этих организмов к специфическим температурным условиям [1, 2]. Они представляют собой полимеры, состоящие из повторяющихся трипептидных звеньев Ala-Ala-Thr, в которых остаток треонина гликозилирован галактозил-N-ацетилгалактозамином: Ala-Ala-Thr( $\leftarrow 1\alpha\text{GalNAc}3 \leftarrow 1\beta\text{Gal}$ ) \*. Таких звеньев в активных молекулах содержится от 17 до 50 [1, 2].

Механизм функционирования антифризных гликопротеинов весьма проблематичен. Ряд исследователей, например, Рэймонд и Де Брис [3], Фини и Йе [1, 2], полагают, что в основе его лежит сродство молекулы гликопротеина к поверхности льда. По их мнению, гидрофильные участки таких молекул способны конкурировать с водородными связями, образуемыми молекулами воды в кристаллической решетке льда. В пользу этого предположения свидетельствует близкое соответствие между структурой моносахаридных остатков и пространственной ячейкой льда. Поэтому достаточно небольших нарушений в пространственной структуре льда, чтобы образование водородных связей гликопротеином с поверхностью льда приводило к напряжению и ослаблению водородных связей между молекулами воды на его поверхности [2]. Возможность связывания гликопротеинов зародышами льда с помощью водородных связей следует из спектров комбинационного рассеяния света замороженных растворов гликопротеинов [4]. Не исключено, что такое взаимодействие, приводит к ингибированию роста кристаллов льда.

В настоящей работе изложены результаты теоретического конформационного анализа возможных регулярных конформаций антифризного гликопротеина. Самыми стабильными представителями вторичной структуры полипептидов являются  $\alpha$ -спираль и  $\beta$ -структура. Поэтому пами рассматривались конформации гликопротеина, в которых геометрические параметры (углы вращения в основной цепи) близки к таковым в этих двух пространственных формах.

Методика конформационного анализа гликопептидов, параметризация потенциальных функций и отсчет углов вращения описаны нами в сообщении [5]. В качестве начальных приближений для углов вращения в гликозилированном остатке треонина (рис. 1) были взяты значения, полученные при расчете молекулы  $\text{CH}_3\text{CO}-\text{Thr}(\leftarrow 1\alpha\text{GalNAc}3 \leftarrow 1\beta\text{Gal})-\text{NHCH}_3$  [5]. На-

\* Все аминокислоты – L-конфигурации, моносахариды – D-конфигурации. Ди сахаридное звено в изображении молекулы гликопротеина в ряде случаев обозначено символом  $\text{CHO}$ .

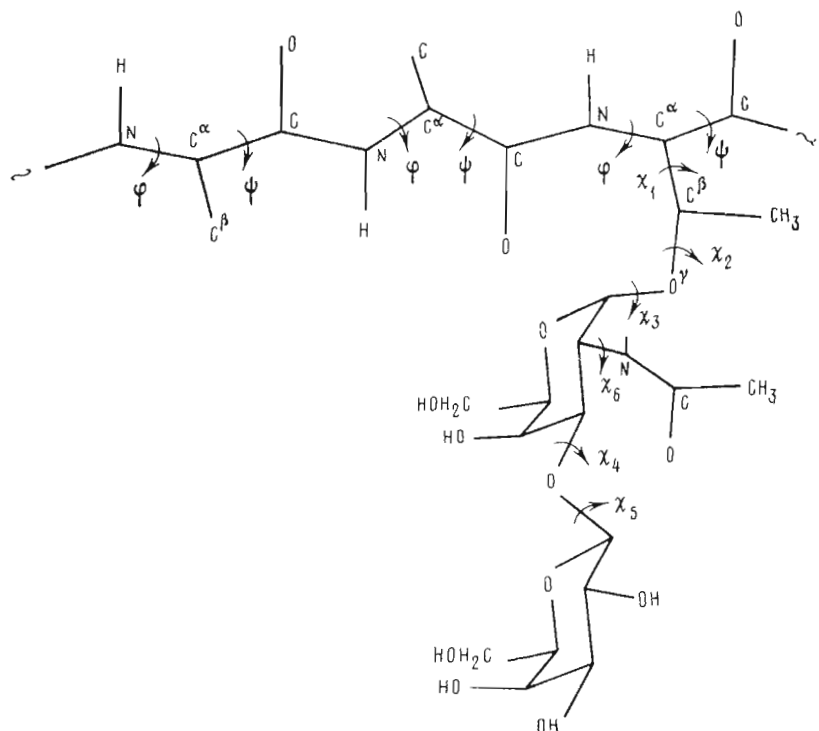


Рис. 1. Модель повторяющегося звена антифризного гликопротеина Ala-Ala-Thr( $\leftarrow$ 1 $\alpha$ GalNAc3 $\leftarrow$ 1 $\beta$ Gal) с указанием углов вращения

помним, что оптимальные углы вращения вокруг связей C1—O и O—C3 ( $\chi_3$  и  $\chi_4$ ) между остатками дисахаридного звена равны 60, 20 или 40 и  $-40^\circ$ . Угол  $\chi_3$ (C1—O $^1$ ) соответствует *госп-ориентации* связи O $^1$ —O $^3$  относительно связи C1—O5 кольца N-ацетилгалактозамина ( $-60^\circ$ ). Для связей C $^{\alpha}$ —C $^{\beta}$  и O $^1$ —C1 наиболее приемлемо *транс*-расположение ( $\chi_2 = 180^\circ$ ). Угол  $\chi_1$ (C $^{\alpha}$ —C $^{\beta}$ ) принят равным  $-60^\circ$  (см. рис. 2 в [5]). Это вызвано тем, что, по данным расчета, в  $\alpha$ -спирале ориентации боковой цепи гликозилированного остатка, которым соответствуют значения угла  $\chi_1$  60 или  $180^\circ$ , недопустимы из-за невалентных отталкиваний с пептидным остовом. В случае развернутых конформаций при  $\chi_1 = 60$  или  $180^\circ$  углы вращения  $\phi$ (C $^{\alpha}$ —N) и  $\psi$ (C $^{\alpha}$ —C $^{\prime}$ ) у остатков треонина [6] сильно отличаются от тех, которые наблюдаются в  $\beta$ -структуре. В белках угол  $\chi_1 = -60^\circ$  для остатков треонина представлен с максимальным весом [7].

Поиск оптимальной правой  $\alpha$ -спиральной конформации гликопротеина [Ala-Ala-Thr(CH<sub>2</sub>OH)]<sub>n</sub> был разбит на два этапа. На первом этапе проведен расчет правой  $\alpha$ -спирали полиаланина при принятых во внимание средних параметрах пептидной единицы. При минимизации потенциальной энергии получены следующие значения углов вращения в основной цепи:  $\phi = -64,6^\circ$  и  $\psi = -45,8^\circ$ . Это весьма близко к приводимым в литературе параметрам стандартной  $\alpha$ -спирали ( $-58$  и  $47^\circ$  соответственно [8]). На втором этапе находили допустимую упаковку дисахаридных звеньев на поверхности  $\alpha$ -спирального остова. С этой целью для всего полимера с небольшим шагом ( $5^\circ$ ) строились конформационные карты  $\chi_2$ — $\chi_3$  и затем, с учетом уточненных значений угла  $\chi_2$ , карты  $\chi_1$ — $\chi_2$ . Найденные таким образом допустимые значения углов  $\phi$ ,  $\psi$  и  $\chi_1$ ... $\chi_6$  служили нулевыми приближениями при минимизации потенциальной энергии  $\alpha$ -спиральной конформации всего гликопротеина, при этом углы вращения остатков аланина и гликозилированных остатков треонина оптимизировались независимо. Углы вращения самой низкоэнергетической  $\alpha$ -спиральной конформации гликопротеина приведены в таблице. В  $\alpha$ -спирали допустимое значение угла  $\chi_1$  более чем на  $25^\circ$  отличается от его значения в конформации R свободного гликозилированного остатка ( $-49^\circ$ , [5]).

**Углы вращения (град) низкоэнергетических структур гликопroteина  
Ala-Ala-Thr( $\leftarrow$ 1 $\alpha$ GalNAc3  $\leftarrow$ 1 $\beta$ Gal)**

Тип конформации	Ala		Ala	
	$\varphi$	$\psi$	$\varphi$	$\psi$
$\alpha$ -Сpirаль	-64,3	-45,2	-64,3	-45,2
Антипараллельная $\beta$ -структура	-145,1	160,2	-145,1	160,2
$C_3$ -Симметрическая спираль	-94,3	150,9	-94,3	150,9

Тип конформации	Thr							
	$\varphi$	$\psi$	$\chi_1$	$\chi_2$	$\chi_3$	$\chi_4$	$\chi_5$	$\chi_6$
$\alpha$ -Сpirаль	-64,2	-46	-74,5	155,1	-53,1	18,9	60,2	-4,1
Антипараллельная $\beta$ -структура	-147,1	150	-65	162,4	-42,4	26,0	52,6	180
$C_3$ -Симметрическая спираль	-93,5	146,3	-60,1	166,3	-40,5	20,3	58,8	179

Характерной особенностью  $\alpha$ -спиральной структуры является возможность взаимодействия остатков, расположенных вдоль пептидной цепи в первой — пятой и первой — четвертой позициях. В данном конкретном примере энергии взаимодействия гликозилированного  $n$ -го остатка треоцина с остатком аланина  $n-4$  и остатком треоцина  $n-3$  составляют  $-7,5$  ккал/моль. Энергия дисперсионных взаимодействий соседних дисахаридных звеньев (связанных с первым и четвертым вдоль цепи остатками треоцина) равна  $-4,5$  ккал/моль. Таким образом, по стереохимическим критериям образование правой  $\alpha$ -спирали гликопротеином, в котором гликозилирован каждый четвертый аминокислотный остаток, вполне реально. Спектры комбинационного рассеяния света антифазных гликопротеинов с высокой молекулярной массой указывают на присутствие  $\alpha$ -спиральной структуры как в твердых образцах, так и в растворе [4].

Рассмотрим развернутые конформации гликопротеина. Если принять в качестве нулевых приближений (для варьируемых параметров) значения углов вращения в оптимальных конформациях остатков, соответствующих области  $B$  конформационных карт ( $b_1$  и  $B_1$  в случае гликозилированного треоцина, см. табл. 2 в [5]), а также значения углов вращения стандартных  $\beta$ -структур ( $\varphi = -140^\circ$  и  $\psi = 145^\circ$  в случае антипараллельной формы [8]), то при минимизации потенциальной энергии полимера выделяются два типа структур, в которых углы  $\varphi$  и  $\psi$  равны приблизительно  $-130^\circ$ ,  $150^\circ$  и  $-95^\circ$ ,  $150^\circ$  соответственно.

Конформации первого типа обладают осью симметрии второго порядка и практически совпадают с конформациями пептидных тяжей антипараллельной  $\beta$ -структуры. В оптимальной структуре (таблица) взаимодействия между дисахаридными звеньями отсутствуют. Энергия, приходящаяся на один гликозилированный остаток треоцина, в данном случае на 5 ккал/моль выше, чем в  $\alpha$ -спирали. Однако эта оценка относится к изолированной цепи и не учитывает энергии межмолекулярных водородных связей в  $\beta$ -структуре. Вместе с тем  $\beta$ -структурные конформации более предпочтительны по сравнению с  $\alpha$ -спиралью по энергии ближних взаимодействий, так как встраивание гликозилированного остатка треоцина в правильную  $\alpha$ -спираль сопряжено с определенными локальными напряжениями.

Развернутые конформации второго типа представляют собой спирали с осью симметрии третьего порядка. Так как в рассматриваемом гликопротеине каждый третий остаток — треоцин с углеводной цепью, то все дисахаридные звенья  $\text{Gal}\beta 1 \rightarrow 3\text{GalNAc}2 \rightarrow$  в данной структуре располагаются по одну сторону от оси спиралей. Модель наиболее предпочтительного варианта (таблица) показана на рис. 2. В этой конформации энергия диспер-

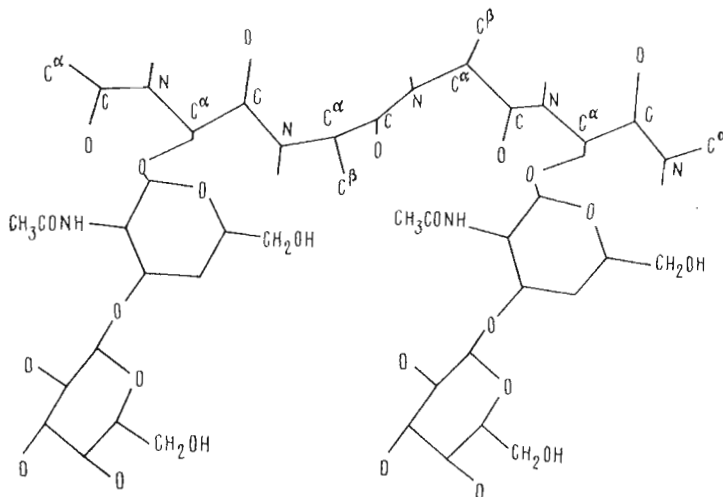


Рис. 2. Молекулярная модель развернутой конформации с осью симметрии третьего порядка фрагмента антифризного гликопротеина

ционных взаимодействий дисахаридных звеньев соседних гликозилированных остатков треонина составляет  $-4,5$  ккал/моль, т. е. они так же эффективны, как и в  $\alpha$ -спирале. В этой структуре также существенны контакты боковой цепи треонина с основными цепями прилежащих остатков. В целом энергия на остаток треонина с углеводной цепью в этой структуре на  $3,5$  ккал/моль выше, чем в  $\alpha$ -спирале.

Физико-химические исследования антифризного гликопротеина показывают, что в твердом состоянии представлены обе формы вторичной структуры полипептидов —  $\alpha$ -спираль и  $\beta$ -структура с приблизительно одинаковым весом [4], что указывает на энергетическую близость этих двух конформационных состояний. По данным спектров комбинационного рассеяния, в водных растворах гликопротеина имеет место равновесие между  $\alpha$ -спиральной,  $\beta$ -структурной и клубкообразной конформациями [4]. На значительный вклад развернутых структур указывают также измерения квазиупругого рассеяния света [9].

Рассмотрим, в какой из конформаций антифризного гликопротеина возможно его взаимодействие с кристаллической решеткой льда. Естественно допустить, что в такой конформации повторяющиеся расстояния между дисахаридными звеньями должны быть равны или кратны размерам кристаллографической ячейки льда. Лед I имеет гексагональную решетку, в которой размеры ячеек вдоль осей  $a$  и  $c$  равны соответственно  $4,52$  и  $7,35$  Å [10]. Ингибирование зародышей льда вряд ли возможно, когда гликопротеин находится в  $\alpha$ -спиральной или  $\beta$ -структурной конформациях. В первой структуре расстояние между невосстанавливающими концами ближайших дисахаридных звеньев велики ( $\sim 15$  Å), и эти звенья расходятся от центра спирали в разные стороны под углом  $60^\circ$ . Во второй структуре с осью симметрии второго порядка идентично направленные дисахаридные звенья располагаются также на значительном расстоянии —  $21$  Å. Несмотря на то что это расстояние близко к утроенной длине ячейки льда вдоль оси  $c$  ( $\approx 22$  Å), ингибирование роста кристалла льда вдоль оси  $c$  мало реально по энтропийным соображениям, так как для соответствия решетке необходима жесткая фиксация углов вращения гликопротеина вокруг шести связей вдоль пептидной цепи.

В спиральной конформации с осью симметрии третьего порядка все дисахаридные звенья гликопротеина, как было показано, располагаются параллельно друг другу и по одну сторону от оси спирали, так что все идентичные гидроксильные группы остатков галактозы находятся приблизительно на одной прямой. Повторяющееся расстояние между дисахаридными звеньями равно  $9,7$  Å, что весьма близко к удвоенным размерам ячейки льда вдоль оси  $a$  ( $9,04$  Å). Поэтому не исключено, что в такой кон-

формации гликопротеин способен ингибировать рост зародышей льда вдоль кристаллографической оси *a*. Действительно, достаточно небольшого изменения углов вращения в пептидной цепи (например, значений углов  $\phi$  от  $-95$  до  $-85^\circ$ ), чтобы расстояние между углеводными цепями соответствовало  $2a$ . Поляризационные измерения роста кристаллов льда в присутствии антифризного гликопротеина показывают, что в такой ситуации образуются дефектные кристаллы, причем ингибирование роста происходит именно вдоль оси *a* кристалла [4].

В предлагаемой активной конформации гликопротеина ( $\phi \approx -90^\circ$ ,  $\psi \approx 150^\circ$ ) периферическими являются гидроксильные группы при атомах C3 и C4 остатков галактозы (см. рис. 2). При энергетическом анализе такой структуры было показано, что в ней велики дисперсионные взаимодействия между соседними углеводными цепями, т. е. дисахаридные звенья довольно плотно упакованы. По сравнению с другими свободными гидроксильными группами (при C2- и C6-атомах) указанные выше гидроксилы невосстановливающих остатков галактозы максимально доступны для межмолекулярных контактов, и скорее всего именно они участвуют в образовании водородных связей с молекулами воды зародышей льда. Для такого утверждения имеются определенные экспериментальные факты. Так, модификация углеводов боратами, при которой имеет место комплексообразование соседних *цикло*-гидроксильных групп у атомов C3 и C4 остатков галактозы [11], приводит к инактивации гликопротеинов. Напротив, энзиматическое окисление гидроксила в шестом положении галактозы не вызывает изменений в активности белка [12]. По данным спектров комбинационного рассеяния света, в образцах антифризных гликопротеинов со значительным весом представлена антипараллельная  $\beta$ -структуря. Конформации с осью симметрии третьего порядка пространственно подобны  $\beta$ -структурным тяжам, однако в  $\beta$ -структуре встраиваться не могут. Не исключено, что на границах таких тяжей полипептидная цепь претерпевает конформационную перестройку, вследствие чего отделившиеся молекулы могут переходить в активную конформацию с осью симметрии третьего порядка. Этому, несомненно, способствует возможность взаимодействий гликопротеина в такой конформации с зародышами льда.

#### ЛИТЕРАТУРА

- Yeh Y., Feeney R. E. Accounts Chem. Res., 1978, v. 11, № 4, p. 129–135.
- Feeney R. E., Yeh Y. Adv. Protein Chem., 1978, v. 32, p. 191–282.
- Raymond J. A., De Vries A. L. Cryobiology, 1972, v. 9, № 3, p. 541–547.
- Tomimatsu Y., Scherer S. R., Yeh Y., Feeney R. E. J. Biol. Chem., 1976, v. 251, № 8, p. 2290–2298.
- Липкинд Г. М., Аванов А. Я., Кочетков Н. К. Биоорган. химия, 1982, т. 8, № 4, с. 512–523.
- Kreissler M. A., Arkhipova S. F., Lipkind G. M., Popov E. M. J. Chem. Phys., 1974, v. 71, № 6, p. 907–912.
- Липкинд Г. М., Попов Е. М. Молекулярн. биология, 1971, т. 5, № 5, с. 667–679.
- Ramachandran G. M., Sasisekharan V. Adv. Protein Chem., 1968, v. 23, p. 283–438.
- Ahmed A. I., Feeney R. E., Osuga D. T., Yeh Y. J. Biol. Chem., 1975, v. 250, № 9, p. 3344–3347.
- Ормонд Б. Ф. Структуры неорганических соединений. М.–Л.: Гос. изд-во техн. лит-ры, 1950.
- Ahmed A. I., Osuga D. T., Feeney R. E. J. Biol. Chem., 1973, v. 248, № 4, p. 8524–8527.
- Vandenheede J. R., Ahmed A. I., Feeney R. E. J. Biol. Chem., 1972, v. 247, № 24, p. 7885–7889.

Поступила в редакцию 24.XI.1981

CONFORMATIONAL ANALYSIS OF ANTIFREEZE GLYCOPROTEIN  
AVANOV A. Yu., LIPKIND G. M., KOCHETKOV N. K.

N. D. Zelinsky Institute of Organic Chemistry, Academy  
of Sciences of the USSR, Moscow

Theoretical conformational analysis of possible regular structures of antifreeze glycoprotein with regular repeating unit Ala-Ala-Thr( $\leftarrow 1\alpha$ GalNAc3 $\leftarrow 1\beta$ Gal) has been carried out. It is shown that  $\alpha$ -helix and  $\beta$ -structure are possible for glycoprotein on stereochemical grounds. An extended conformation with a 3-fold symmetry axis was found which allows hydrogen bonding between monosaccharide hydroxyls and water molecules of the ice surface.